

Таким образом, вывод о стабилизирующем влиянии тепловыделения и дестабилизирующем влиянии теплопоглощения справедлив не только для монотонных, но и для колебательных возмущений.

#### ЛИТЕРАТУРА

1. Sternling C. V., Scriven L. E. Interfacial turbulence: hydrodynamic instability and the Marangoni effect // AIChE J. — 1959. — V. 5, N 4.
2. Smith K. A. On convective instability induced by surface-tension gradients // J. Fluid Mech. — 1966. — V. 24, N 2.
3. Непомнящий А. А., Симановский И. Б. Термокапиллярная конвекция в двухслойной системе // ДАН СССР. — 1983. — Т. 272, № 4.
4. Непомнящий А. А., Симановский И. Б. О колебательной конвективной неустойчивости равновесия двухслойных систем при наличии термокапиллярного эффекта // ПМТФ. — 1985. — № 1.
5. Френцель Г., Линде Х. Линейный анализ неустойчивости Марангони в двухфазной системе с источником или стоком тепла на межфазной границе // Теорет. основы хим. технологии. — 1986. — Т. 20, № 1.

г. Пермь

Поступила 24/V 1988 г.,  
в окончательном варианте — 9/XI 1988 г.

УДК 621.528

В. И. Куприянов, К. Б. Павлов, А. Ю. Полуэктова, А. С. Романов

### О ВЫСОКОВАКУУМНОЙ НИЗКОТЕМПЕРАТУРНОЙ АДСОРБЦИИ В ПРОТЯЖЕННЫХ СЛОЯХ АДСОРБЕНТА

Для описания процессов диффузии и адсорбции в протяженных слоях адсорбента широко применяется приближение сплошной среды, что значительно упрощает анализ проблемы. Возможность такого феноменологического подхода обсуждается, например, в [1—3]. При записи соответствующих уравнений кинетики процесса используются как теоретические предпосылки, имеющие вид законов сохранения и позволяющие выявить качественный вид этих уравнений, так и экспериментальные данные. Последние наряду с определением конкретных характеристик системы дают возможность проверки теоретических положений.

В промышленности для низкотемпературной адсорбции распространены адсорбенты с развитой внутренней структурой [4]. Процессы в таких адсорбентах имеют ряд особенностей, приводящих к активированной диффузии [5], что существенно при малых заполнениях. Нами была предпринята попытка экспериментально изучить процесс низкотемпературной адсорбции в протяженных слоях адсорбента методом меченых атомов. Описание экспериментальной установки и некоторые результаты приведены в [6]. Эксперименты показали, что при относительно малых заполнениях в слое адсорбента возникает характерная длина, трактуемая как глубина слоя адсорбента, участвующего в адсорбции. Известно, что в процессах, описываемых уравнением диффузии (в общем случае нелинейной), такая ситуация реализуется при наличии в среде расположенных стоков переносимой величины (см., например, [7]). Ниже теоретически и экспериментально исследуется возможность построения модели высоковакуумной низкотемпературной адсорбции в условиях относительно малого заполнения.

Высоковакуумная низкотемпературная адсорбция в протяженных слоях адсорбента состоит из нескольких основных процессов, имеющих различную физическую природу. Рассмотрим их в порядке следования.

1. Движение молекул адсорбата между дисперсными частицами (гравулами) адсорбента. В простейшем случае плоской симметрии при достаточно низких давлениях газа этот процесс может быть описан одномерным уравнением диффузии

$$(1) \quad \frac{\partial c}{\partial t} = \frac{\partial}{\partial x} D \frac{\partial c}{\partial x}.$$

Здесь  $c$  — концентрация молекул адсорбата;  $x$  — координата, вдоль которой в среднем происходит перенос вещества в газовой фазе;  $t$  — время;  $D$  — коэффициент диффузии, который для молекулярного режима течения газа может быть рассчитан по формуле [8]

$$(2) \quad D = D_0 \frac{\varepsilon}{K_u^2} - \frac{1}{3} \sqrt{\frac{8kT}{\pi m}} \lambda \frac{3}{K_u^2},$$

© 1990 Куприянов В. И., Павлов К. Б., Полуэктова А. Ю., Романов А. С.

где  $T$  — температура адсорбата;  $k$  — постоянная Больцмана;  $m$  — масса молекулы газа;  $\lambda$  — характерный размер свободного пространства между гранулами адсорбента;  $K_u$  — коэффициент извилистости, учитывающий непрямoliniенность движения газа ( $1,4 \leq K_u \leq 2,0$ );  $\epsilon = 1 - \rho^*/\rho$  — пористость;  $\rho^*$  и  $\rho$  — кажущаяся и истинная плотности адсорбента.

## 2. Адсорбция на легко доступных поверхностях гранул адсорбента.

Вид уравнения, описывающего этот процесс, зависит от физического механизма адсорбции. Оценки характерного времени установления равновесия при заданной концентрации в газовой фазе показывают [9, 10], что при интересующих нас в дальнейшем ситуациях равновесие устанавливается практически мгновенно. Поэтому в условиях, близких к изотермическим,

$$a^* = \Gamma(c)$$

( $\Gamma(c)$  — соответствующая изотерма адсорбции,  $a^*$  — количество адсорбированного газа на единице поверхности гранулы адсорбента).

**3. Диффузия молекул адсорбата внутрь гранулы и адсорбция в микропорах.** Детальный анализ активированной диффузии внутрь гранулы приведен в [5] и в других статьях, помещенных в первой части того же сборника. Основной особенностью диффузии там полагается наличие потенциального барьера на входе в микропоры. Его наличие в случае малых заполнений приводит к тому, что преодоление молекулами адсорбата этого барьера является основным фактором, ограничивающим скорость адсорбции внутри гранулы. Обратный поток молекул практически отсутствует. Последнее связано с тем, что при малых заполнениях равновесное давление оказывается малым из-за наличия потенциального барьера.

Следуя [11], определим поток молекул в микропору:

$$(3) \quad q_1 = 2\pi r_0 \beta(r_0) c_*.$$

Здесь  $c_*$  — концентрация молекул вблизи устья микропоры;  $r_0$  — характерный радиус микропоры;  $\beta = \sqrt{RT/m} \exp[-Q(r)/kT]$  — вероятность попадания молекулы внутрь микропоры;  $Q(r)$  — потенциальный барьер на входе в микропору. Естественно считать  $c_* \sim a^*$ . Тогда

$$(4) \quad q_1 = \eta \Gamma(c)$$

( $\eta$  — коэффициент пропорциональности, определяемый физико-химическими свойствами адсорбента и адсорбата).

Формула (4) показывает, что поток адсорбируемых внутри гранулы молекул в определенных условиях зависит только от концентрации молекул адсорбата в газовой фазе. Соотношение типа (4) существует, если проникновение адсорбата в микропоры внутри гранулы затруднено [12]. С учетом (4) уравнение (1) запишем в виде

$$(5) \quad \frac{\partial c}{\partial t} = \frac{\partial}{\partial x} D \frac{\partial c}{\partial x} - q,$$

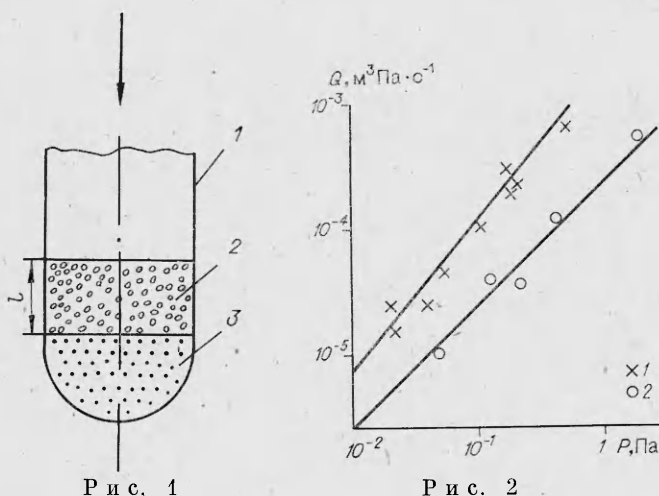
где  $q$  — мощность распределенного стока. Из представленных выше соотношений следует

$$q = \langle \eta \rangle N \Gamma(c)$$

(скобки обозначают усреднение по объему,  $N$  — число микропор, участвующих в адсорбции на единицу объема адсорбента). Таким образом, мощность стока  $q$  в (5) зависит от физико-химических свойств и геометрии гранул адсорбента, вида адсорбируемого газа и его концентрации в газовой фазе, степени насыщения адсорбента.

Конкретное значение  $q$  в (5) может быть найдено только экспериментально. С этой целью нами определялась скорость адсорбции в слое адсорбента.

На рис. 1 показана засыпка адсорбента в ампуле (схему установки см. в [6]) (1 — стеклянная ампула, 2 — слой адсорбента, 3 — медный порошок). В качестве адсорбата использовались ксенон Хе и азот  $N_2$ , в качестве адсорбента — активированный уголь СКТ-4 и цеолит СаЕН-4В.



Стрелкой показано направление движения адсорбируемого газа. Масса адсорбента определялась взвешиванием. Толщина слоя адсорбента  $l$  измерялась линейкой, расход газа — бюреткой, давление над поверхностью адсорбента — тремя лампами ПМИ-2, ПМИ-10-2 и ЛМ-3-2. Инструментальная погрешность определения расхода газа 5 %, давления  $\sim 30$  %. Измерения расхода и давления проводились каждые 15 мин после начала работы установки в течение длительного времени (от четырех до семи часов непрерывно), при этом давление и расход газа практически оставались неизменными, что свидетельствует о стационарности процесса.

Полученные таким способом экспериментальные данные, усредненные за время опыта, по зависимости расхода газа  $Q$  ( $\text{м}^3\text{Па}\cdot\text{s}^{-1}$ ) от давления  $P$  (Па) над поверхностью адсорбента СаЕН-4В приведены на рис. 2 (1 — ксенон, 2 — азот,  $l = 10^{-2}$  м). Выбор ксенона продиктован соображениями удобства работы с его радиоактивным изотопом Хе-133. Аналогичные эксперименты проведены при  $l = 0,2$  м.

Анализ полученных результатов свидетельствует (рис. 2), что хорошим приближением для зависимости  $Q(P)$  является степенная зависимость  $Q = AP^m$  ( $A, m = \text{const} > 0$ ). Поэтому в уравнении (5) можно положить  $q = \gamma c^\alpha$ . Принимая в качестве характерных величин  $c_0$  — концентрацию газа над поверхностью адсорбента,  $L = [D/\gamma c_0^{\alpha-1}]^{1/2}$  — длину,  $t_0 = \gamma^{-1} c_0^{1-\alpha}$  — время, уравнение (5) можно записать в безразмерной форме

$$(6) \quad \frac{\partial c}{\partial t} = \frac{\partial^2 c}{\partial x^2} - c^\alpha.$$

Дополнив уравнение (6) граничными условиями, соответствующими условиям опыта (см. рис. 1), имеем

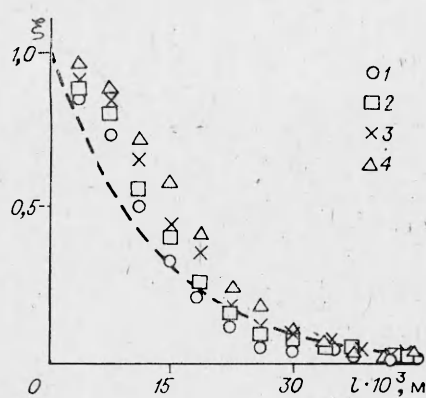
$$(7) \quad c = 1 \text{ при } x = 0, \quad \frac{\partial c}{\partial x} = 0 \text{ при } x = l/L.$$

Как уже говорилось, во время эксперимента процесс адсорбции протекает практически стационарно. Поэтому здесь целесообразно выписать лишь стационарные решения уравнения (6), удовлетворяющие условиям (7) для двух предельных случаев: тонкого слоя адсорбента  $l \ll L$  и толстого слоя  $l \gg L$ . При  $l \ll L$   $c_1 = 1$ . Расход газа в слой адсорбента определяется только мощностью стока:  $Q_1 = \gamma c_0^\alpha V$  ( $V$  — объем адсорбента). Для дальнейшего это соотношение удобно записать как

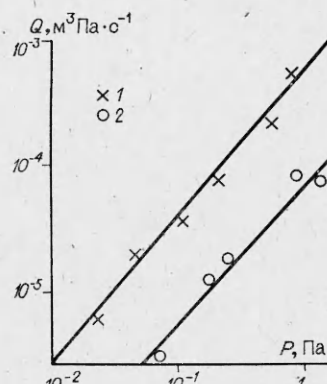
$$(8) \quad Q_1 = \gamma (P/KT)^\alpha M$$

( $M$  — масса адсорбента). При  $l \gg L$

$$(9) \quad c_2 = \left[ 1 + \sqrt{\frac{2}{\alpha+1}} \frac{\alpha-1}{2} x \right]^{-2/(\alpha-1)} \quad (\alpha > 1).$$



Р и с. 3



Р и с. 4

Индексы 1 и 2 здесь и ниже обозначают случаи тонкого и толстого слоев.  
Расход газа в толстый слой адсорбента

$$Q_2 = -SD \frac{dc_2}{dx} \Big|_{x=0}$$

( $S$  — площадь поперечного сечения слоя адсорбента). Перепишем последнее соотношение в виде

$$Q_2 = \sqrt{\gamma D} (P/kT)^{(1+\alpha)/2} S [-dc(0)/dx],$$

где из (9)  $dc(0)/dx = -[-2/(\alpha + 1)]^{1/2}$ .

На рис. 3 приведены результаты измерения относительной интенсивности излучения изотопа Xe-133 ( $\xi = I(x)/I(0)$ ;  $I(x)$  — интенсивность излучения изотопа Xe-133 за вычетом фоновой интенсивности), которым был помечен ксенон, по глубине слоя адсорбента для различных времен насыщения  $\tau$  ( $l = 4 - \tau = 2; 5; 8; 11$  ч соответственно). Интенсивность излучения на поверхности адсорбента  $x = 0$  принята за единицу. Слой адсорбента брался заведомо толстый. Как видно, если  $l = 10^{-2}$  м, то достаточно точно можно считать такой слой CaEH-4B тонким. Если  $l = 0,2$  м, то слой толстый.

Экспериментальные данные по зависимости  $Q_1 = Q_1(P)$ , полученные указанным выше способом, обрабатывались по методу наименьших квадратов с использованием степенной зависимости  $Q_1 = A_2 P^{m_1}/kT$ . Из сравнения с (8) следует, что  $\alpha = m_1$ . Если при этом экспериментальные данные для толстого слоя также аппроксимировать степенной функцией  $Q_2 = A_2 P^{m_2}/kT$ , то она совместима с предполагаемой теоретической моделью при  $m_2 = (1 + m_1)/2$ . Постоянная  $A_2$  определялась по методу наименьших квадратов. Выборочный коэффициент корреляции для  $A_2$  во всех случаях оказался не менее 0,85.

Окончательно постоянные  $\gamma$ ,  $D$  рассчитывались по формулам

$$\gamma = \frac{A_1 \rho^*}{M} (kT)^{m_1}, \quad D = \frac{A_2 M k T}{A_1 \rho^* S} \frac{m_1 + 1}{2}.$$

В табл. 1 приведены полученные таким способом данные для Xe и N<sub>2</sub> при адсорбции на CaEH-4B ( $[\gamma] = [m^{3(\alpha-1)} \cdot c^{-1}]$ ). При этом в столбце

Т а б л и ц а 1

Адсорбат	$\alpha$	$\gamma, m^{3(\alpha-1)} \times c^{-1}$	$\gamma^* = \gamma e^{\alpha-1}, c^{-1}$	$D_T, m^2 \cdot c^{-1}$	$D_B, m^2 \cdot c^{-1}$
Xe	1,13	$2,2 \cdot 10^{-2}$	9,81	$3,3 \cdot 10^{-3}$	$2,6 \cdot 10^{-3}$
N <sub>2</sub>	1,08	$4 \cdot 10^{-2}$	1,704	$7,5 \cdot 10^{-3}$	$6,8 \cdot 10^{-3}$

Таблица 2

Адсорбат	$\alpha$	$\gamma, \text{ м}^{3(\alpha-1) \cdot c-1}$	$\gamma^* = \gamma c^{\alpha-1}, \text{ с}^{-1}$
Xe	1,4	$3,8 \cdot 10^{-6}$	393
N <sub>2</sub>	1,32	$1,05 \cdot 10^{-5}$	27,2

$D$  в знаменателе указаны теоретические значения коэффициента диффузии, определенные по формуле (2), где  $K_u = 1,5$ ;  $\varepsilon = 0,4$ ;  $\lambda = 10^{-3}$  м.

На рис. 2 наряду с экспериментальными данными по адсорбции Xe и N<sub>2</sub> на адсорбенте CaEH-4B нанесены и кривые, полученные при степенной аппроксимации зависимости  $Q(P)$ . На рис. 4 приведены результаты для толщины слоя адсорбента  $l = 0,2$  м. На рис. 3 изображена кривая, рассчитанная по уравнению (9) для Xe. В целом все представленные на рис. 2—4 экспериментальные и теоретические данные свидетельствуют о вполне удовлетворительном совпадении теоретических и экспериментальных зависимостей.

Была предпринята попытка провести аналогичные эксперименты по адсорбции на активированном угле СКТ-4. Однако эксперименты на радиоактивном изотопе Xe-133 показали, что ситуация тонкого слоя на СКТ-4 практически не реализуется из-за того, что при  $l \ll L$  длина  $l$  становится сравнимой с размерами гранул адсорбента, что делает неприменимым приближение сплошной среды. Поэтому были проведены эксперименты только на толстом слое  $l \gg L$ . Коэффициент диффузии полагался равным его значению, определенному для CaEH-4B (размеры гранул СКТ-4 и CaEH-4B приблизительно равны). Результаты расчетов постоянных  $\alpha$  и  $\gamma$  приведены в табл. 2.

Одним из основных положений рассматриваемой теории адсорбции в протяженных слоях адсорбента является практическое отсутствие десорбции (вследствие активированной диффузии) и перераспределения адсорбата вдоль слоя адсорбента. Для подтверждения этого положения экспериментально определялась интенсивность излучения изотопа Xe-133 при длительной выдержке адсорбента при азотной температуре в условиях вакуумирования после прекращения насыщения. Выдержка, продолжавшаяся в течение 3—5 сут, не приводила к какому-либо заметному перераспределению изотопа вдоль слоя адсорбента.

Проведенный анализ процесса активированной диффузии в протяженных слоях адсорбента правильно описывает эффект появления характерной длины (глубины слоя). Наибольшее отклонение от теоретической зависимости наблюдается вблизи границы слоя  $x = 0$ . По-видимому, это связано с некоторым отогревом адсорбента в результате выделения тепла при адсорбции.

Таким образом, несмотря на значительные инструментальные погрешности, как правило, имеющие место при аналогичных экспериментах в условиях высокого вакуума и низких температур, можно считать доказанным, что уравнение (3) с нелинейным стоком вполне удовлетворительно описывает активированную низкотемпературную диффузию.

#### ЛИТЕРАТУРА

1. Тодес О. М., Биксон Я. М. К вопросу о динамике сорбции на реальном зернистом адсорбенте // ДАН СССР.— 1950.— Т. 75, № 5.
2. Золотарев П. П., Радушкевич Л. В. К выводу уравнений динамики сорбции для недеформируемой пористой среды // ДАН СССР.— 1968.— Т. 182, № 3.
3. Золотарев П. П., Радушкевич Л. В. Вывод общих уравнений динамики адсорбции для неподвижной зернистой пористой среды // ЖФХ.— 1970.— Т. 44, № 4.
4. Макаров А. М. Расчетные модели высоковакуумных систем крупных криогенных барокамер // Основные направления и проблемы создания вакуумного откачного оборудования.— М.: Машиностроение, 1976.
5. Коган В. С., Бреславец К. Г., Танатаров Л. В. Особенности адсорбции газов микропористыми адсорбентами при малых заполнениях // Вопросы атомной науки и

- техники. Сер.: Низкотемпературная адсорбция и криогенный вакуум. Вып. 1(2).— Харьков: ХФТИ АН УССР, 1972.
6. Полуэктова А. Ю., Куриянов В. И. Определение характеристик слоев адсорбентов в криоадсорбционных насосах // Процессы и управление в криогенных установках и системах/Под ред. В. П. Белякова.— Балашиха Моск. обл., 1986.
  7. Павлов К. Б., Романов А. С. Об изменении области локализации возмущений в процессах нелинейного переноса // Изв. АН СССР. МЖГ.— 1980.— № 6.
  8. Тимофеев Д. П. Кинетика адсорбции.— М.: Изд-во АН СССР, 1963.
  9. Брунауэр С. Адсорбция газов и паров/Под. ред. М. М. Дубинина.— М.: ИЛ, 1948.
  10. Розанов Л. Н. Вакуумная техника.— М.: Высш. шк., 1982.
  11. Танатаров Л. В., Коган В. С., Бреславец К. Г. Активированная адсорбция газов ультрамикропористыми адсорбентами // Вопросы атомной науки и техники. Сер.: Низкотемпературная адсорбция и криогенный вакуум.— Вып. 1(2).— Харьков: ХФТИ АН УССР, 1972.
  12. Танатаров Л. В. Диффузия адсорбата в транспортную пору // Там же.

г. Москва, г. Балашиха

Поступила 25/VII 1988 г.

УДК 537.226:536.421.1

А. Г. Мержанов, В. А. Радучев, Э. Н. Руманов, А. С. Штейнберг

## КРИТИЧЕСКИЕ УСЛОВИЯ УДЕРЖАНИЯ РАСПЛАВА ПРИ ИНДУКЦИОННОМ ПЛАВЛЕНИИ В ХОЛОДНОМ ТИГЛЕ

В технологии тугоплавких диэлектриков способ индукционного плавления в холодном тигле (ИПХТ), разработанный первоначально для тугоплавких оксидов [1—3], получает все большее распространение. Важная стадия ИПХТ (предшествующая кристаллизации) — поддержание стационарного теплового режима, когда потери тепла из расплава компенсируются поглощением энергии ВЧ- поля. Из условия теплового баланса определяются температура расплава и ширина слоя твердой фазы между расплавом и стенкой тигля. Вопрос о тепловой устойчивости межфазной границы поставлен в [1], качественные соображения изложены в [4]. Данная система в ВЧ-поле имеет, очевидно, два устойчивых состояния: 1) холодная, непоглощающая твердая фаза; 2) расплав, высокая температура которого поддерживается ВЧ-поглощением. Наряду с устойчивым есть и неустойчивый режим с меньшим радиусом расплава. Слияние устойчивого и неустойчивого решений дает критические условия существования расплава.

Настоящая работа посвящена количественному изучению устойчивости расплава и определению критических условий из совместного решения тепловой и электродинамической задач (в отличие от [5—7]). Характеристики стационарных режимов получаются при этом в зависимости от параметров, заданных в условиях эксперимента (напряжения и частоты ВЧ-генератора, диаметра тигля и др.). Устойчивость исследуется в квазистационарном приближении.

**1. Постановка задачи.** Для анализа тепловой устойчивости расплава в ВЧ-поле используется модель, показанная на рис. 1. Бесконечный проводящий расплав 1 коаксиален с бесконечным соленоидом 4 (индуктором). Между расплавом и охлаждаемой стенкой тигля 3, прозрачного для ВЧ- поля, существует слой твердой фазы 2 (гарнисаж). На межфазной границе выполняется условие Стефана [8]

$$(1.1) \quad \rho L(da/dt) = q_+ - q_-,$$

где  $\rho$  — плотность диэлектрика;  $L$  — теплопроводность фазового перехода;  $a$  — радиус расплава;  $t$  — время;  $q_+$ ,  $q_-$  — потоки тепла на межфазной границе со стороны расплава и со стороны твердой фазы соответственно.

В стационарном режиме ИПХТ межфазная граница неподвижна ( $(da/dt) = 0$ ). Ее положение определяется из решения уравнения  $q_+(a) - q_-(a) = 0$ . Значения потоков  $q_+$ ,  $q_-$  рассчитываются из уравнения теплопроводности.

Уравнение теплопроводности, описывающее тепловое состояние диэлектрика в стационарном режиме, в цилиндрической системе координат имеет вид

$$(1.2) \quad \frac{\lambda}{r} \frac{d}{dr} \left( r \frac{dT}{dr} \right) + Q(r) = 0.$$

© 1990 Мержанов А. Г., Радучев В. А., Руманов Э. Н., Штейнберг А. С.